

FI 193 – Teoria Quântica de Sistemas de Muitos Corpos

2º Semestre de 2023

08/08/2023

Aula 3

O gás diluído de férmons com interação de curto alcance

• SISTEMA DE FÉRMIONS SPIN $\frac{1}{2}$

• POTENCIAL DE INTERAÇÃO

- ESFÉRICO

- "CURTO" ALCANCE

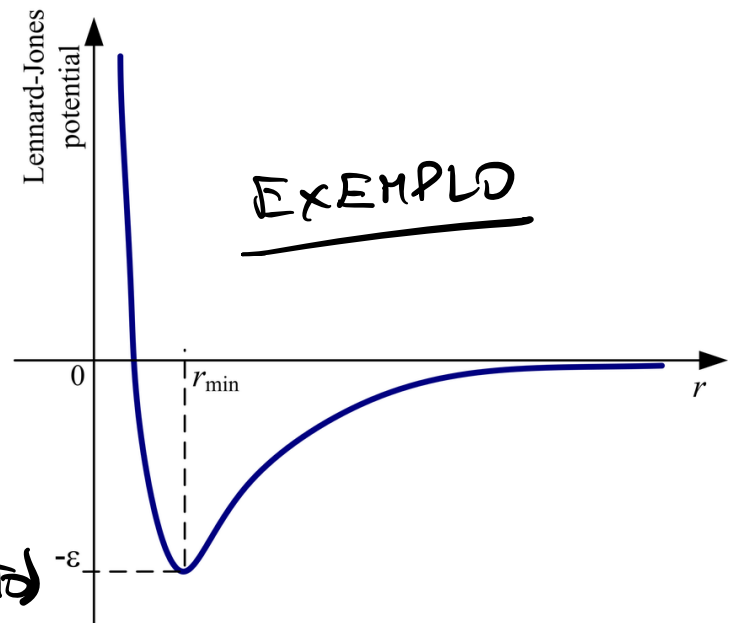
- SEM ESTADOS LIGADOS

(SÓ ESTADOS DE ESPALHAMENTO)

• O PARÂMETRO PEQUENO SERÁ EFETIVAMENTE A DENSIDADE \bar{m} :

$$\bar{m} = \frac{k\epsilon}{3\pi^2}$$

\bar{m} , SENDO DIMENSIONAL, É PEQUENO EM RELAÇÃO A QUÊ?



EXEMPLO

HISTORICAMENTE, ESSE TIPO DE
MÓDELO FOI PENSADO TENDO
EM MENTE O ${}^3\text{He}$

SÓ QUE NAS CONDIÇÕES HABITUAIS
O ${}^3\text{He}$ NÃO SATISFAZ AS CONDI-
ÇÕES DE BAIXA DENSIDADE.

MAIS RECENTEMENTE, APARECE-
RAM OS SISTEMAS DE ATOMOS
FRIOS:

SISTEMAS QUE PODEM SER RES-
FRIADOS A $T \sim 10^{-5} \text{ K}$

$$H_{GF} = \sum_{\mathbf{k}\sigma} \frac{k^2}{2m} a_{\mathbf{k}\sigma}^\dagger a_{\mathbf{k}\sigma} + \frac{1}{2V} \sum_{\mathbf{k}, \mathbf{k}', \mathbf{q}, \sigma, \sigma'} U(\mathbf{q}) a_{\mathbf{k}+\mathbf{q}\sigma}^\dagger a_{\mathbf{k}'-\mathbf{q}\sigma'}^\dagger a_{\mathbf{k}'\sigma'} a_{\mathbf{k}\sigma}$$

$$U(\mathbf{q}) = \int d^3r e^{i\mathbf{q}\cdot\mathbf{r}} U(\mathbf{r})$$

BAIXAS DENSIDADES DE EXCITAÇÕES, APENAS SERÃO IMPORTANTES:
 k_F PEQUENO E $\vec{k}, \vec{k}', \vec{q}$ MUITO PEQUENOS

$$U(\vec{q}) \approx U(0) = \int d^3r U(r)$$

$$H_{int} \approx \frac{U(0)}{2V} \sum_{\sigma, \sigma'} \hat{a}_{\vec{k}+\vec{q}, \sigma}^\dagger \hat{a}_{\vec{k}'-\vec{q}, \sigma'}^\dagger a_{\vec{k}', \sigma'} c_{\vec{k}, \sigma}$$

Dinâmica de dois fermions

ESPALHAMENTO DE 2 PARTÍCULAS PELA POTENCIAL

$U(r)$: MISTO DE TODO DAS ONDAS PARCIAIS.

TUDO É DESCRITO PELAS DEFASAGENS ("PHASE SHIFTS");

$$\delta_q(k)$$

EM BAIXAS ENERGIAS: $\delta_q(k) \sim -(\frac{ka}{2q+1})^{(2q+1)}$

PARA k 'S PEQUENOS $\Rightarrow q=0$ (ONDA S)

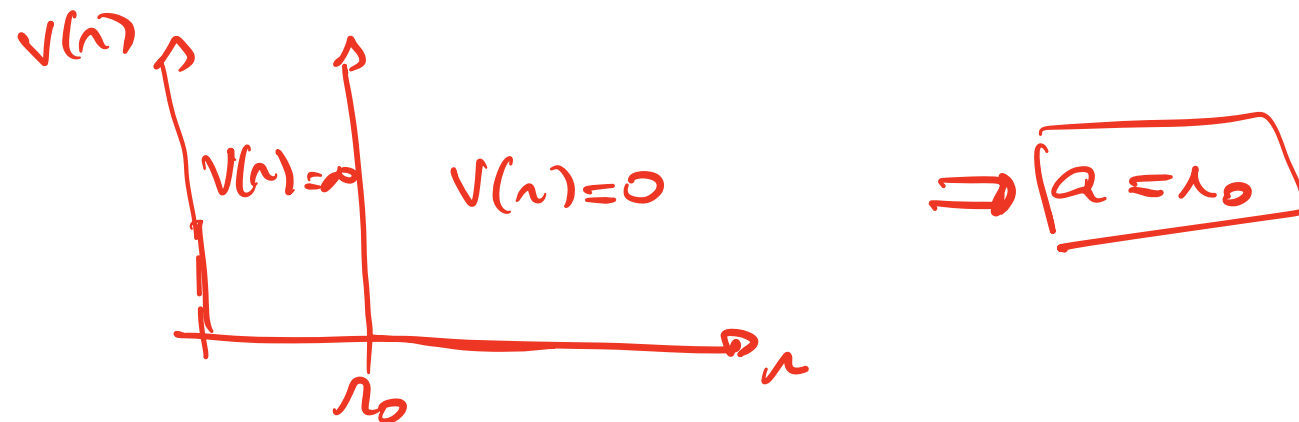
$\delta_0(k) = -ka \Rightarrow a = \text{COMPRIMENTO DE ESPALHAMENTO}$

CONDIÇÃO DE BAIXA DENSIDA DE:

$$k_F a \ll 1$$

PARÂMETRO PEQUENO

NOTEM QUE O POTENCIAL PODE SER
MUITO INTENSO E O L MUITO PEQUENO :
POR EXEMPLO, "ESFERA PURA":



Estratégia

COMO $U(\eta)$ NÃO NECESSARIAMENTE SE PRESTA A UM TRATAMENTO PERTURBATIVO, FAREMOS O SEGUINTE:
CONSIDERE UM OUTRO POTENCIAL FRACO $U_{AUX}(\eta)$ QUE TENHA O MESMO COMPRIMENTO DE ESPALHAMENTO DE $U(\eta)$:

$$\alpha_{AUX} = \alpha$$

TRATE $U_{AUX}(\eta)$ PERTURBATIVAMENTE, EXPRESSE OS RESULTADOS FINAIS EM TERMOS DE α_{AUX} :

$$\alpha_{AUX} \rightarrow \alpha$$

Férmions de mesmo spin não interagem em primeira ordem

$$\begin{aligned}
 & \sum_{\vec{k}\vec{k}'\vec{q}} a_{\vec{k}+\vec{q},\sigma}^+ a_{\vec{k}'-\vec{q},0}^+ a_{\vec{k}',0} a_{\vec{k},\sigma} = \\
 & - \sum_{\vec{k}\vec{k}'\vec{q}} a_{\vec{k}+\vec{q},0}^+ a_{\vec{k}'-\vec{q},\sigma}^+ a_{\vec{k},\sigma} a_{\vec{k}',0} \quad (\text{TROCO } \vec{k} \rightarrow \vec{k}') \\
 & = - \sum_{\vec{k}\vec{k}'\vec{q}} a_{\vec{k}'+\vec{q},\sigma}^+ a_{\vec{k}-\vec{q},\sigma}^+ a_{\vec{k}',0} a_{\vec{k},0} \quad (\vec{q} \rightarrow \vec{q} + \vec{k} - \vec{k}') \\
 & \quad \downarrow \\
 & a_{\vec{k}+\vec{q},0}^+ \quad a_{\vec{k}'-\vec{q},0}^+ \\
 & = - \sum_{\vec{k},\vec{k}',\vec{q}} a_{\vec{k}+\vec{q},\sigma}^+ a_{\vec{k}'-\vec{q},\sigma}^+ a_{\vec{k}',\sigma} a_{\vec{k},\sigma} = 0
 \end{aligned}$$

FISICAMENTE, $\vec{r} \Rightarrow$ PARTE ESPACIAL DA FUNÇÃO DE ONDA É SIMÉTRICA \Rightarrow PARTE DE SPIN É ANTISIMÉTRICA

$$\sum_{\vec{k}\vec{k}'\vec{q}} \alpha_{\vec{\alpha}+\vec{q},\sigma}^+ \alpha_{\vec{\epsilon}-\vec{q},-\sigma}^+ \alpha_{\vec{k}',-\sigma} \alpha_{\vec{\epsilon},\sigma} =$$

$$= \sum_{\vec{k}\vec{k}'\vec{q}} \alpha_{\vec{\alpha}+\vec{q},\uparrow}^+ \alpha_{\vec{\epsilon}-\vec{q},\downarrow}^+ \alpha_{\vec{k}',\uparrow} \alpha_{\vec{\epsilon},\downarrow} +$$

$$\sum_{\vec{k}\vec{k}'\vec{q}} \alpha_{\vec{\alpha}+\vec{q},\downarrow}^+ \alpha_{\vec{\epsilon}-\vec{q},\uparrow}^+ \alpha_{\vec{k}',\downarrow} \alpha_{\vec{\epsilon},\uparrow} =$$

$$= 2 \sum_{\vec{k}\vec{k}'\vec{q}} \alpha_{\vec{\alpha}+\vec{q},\uparrow}^+ \alpha_{\vec{\epsilon}-\vec{q},\downarrow}^+ \alpha_{\vec{k}',\uparrow} \alpha_{\vec{\epsilon},\downarrow}$$

$$H = \sum_{\vec{k},\sigma} \frac{k^2}{2m} \alpha_{\vec{k}\sigma}^+ \alpha_{\vec{k}\sigma} + \frac{U(\sigma)}{V} \sum_{\vec{k}\vec{k}'\vec{q}} \alpha_{\vec{\alpha}+\vec{q},\uparrow}^+ \alpha_{\vec{\epsilon}-\vec{q},\downarrow}^+ \alpha_{\vec{k}',\uparrow} \alpha_{\vec{\epsilon},\downarrow}$$

Tratamento perturbativo

$$H = \sum_{\vec{k}, \sigma} \frac{\vec{k}^2}{2m} a_{\vec{k}\sigma}^\dagger a_{\vec{k}\sigma} + \frac{U(\sigma)}{V} \sum_{\vec{k}\vec{k}'\vec{q}} a_{\vec{k}+\vec{q}, \sigma}^\dagger a_{\vec{k}'-\vec{q}, \sigma}^\dagger a_{\vec{k}', \sigma} a_{\vec{q}, \sigma}$$

FOCAR NA ENERGIA DO EST. FUNDAMENTAL PERTURBATIVAMENTE:

$$E_0^{(0)} = \frac{3}{5} N E_f = \frac{3}{5} N \frac{\vec{k}_F^2}{2m}$$

$$E_0^{(1)} = E_0^{(0)} + \frac{U(0)}{V} \left\langle \sum_{\vec{k}\vec{k}'\vec{q}} a_{\vec{k}+\vec{q}, \sigma}^\dagger a_{\vec{k}'-\vec{q}, \sigma}^\dagger a_{\vec{k}', \sigma} a_{\vec{q}, \sigma} \right\rangle_0$$

OS DOIS BURACOS CRIADOS POR $a_{\vec{k}1}^\dagger + a_{\vec{k}2}^\dagger$ TÊM DE SER PREENCHIDOS POR $a_{\vec{k}+\vec{q}, \sigma}^\dagger$ E $a_{\vec{k}-\vec{q}, \sigma}^\dagger$

$$\Rightarrow \begin{cases} \vec{k} = \vec{k} + \vec{q} \\ \vec{k}' = \vec{k}' - \vec{q} \end{cases} \Rightarrow \boxed{\sum_{\vec{k}\vec{k}'} \left\langle a_{\vec{k}, \sigma}^\dagger a_{\vec{k}', \sigma}^\dagger a_{\vec{k}', \sigma} a_{\vec{k}, \sigma} \right\rangle_0 = 0}$$

$$\sum_{\vec{k}\vec{k}'} \langle \hat{a}_{\vec{k}\uparrow}^{\dagger} \hat{a}_{\vec{k}'\downarrow}^{\dagger} \hat{a}_{\vec{k}'\downarrow}^{\dagger} \hat{a}_{\vec{k}\uparrow}^{\dagger} \rangle_0 = \sum_{\vec{k}\vec{k}'} \langle \hat{n}_{\vec{k}\uparrow} \hat{n}_{\vec{k}'\downarrow} \rangle$$

$$= \left\langle \left(\sum_{\vec{k}\uparrow} \hat{n}_{\vec{k}\uparrow} \right) \left(\sum_{\vec{k}'\downarrow} \hat{n}_{\vec{k}'\downarrow} \right) \right\rangle = \left(\frac{N}{2} \right) \left(\frac{N}{2} \right) = \frac{N^2}{4}$$

N_{\uparrow} N_{\downarrow}

$$E_0^{(s)} = \frac{3}{5} N \frac{k_F^2}{2m} + \frac{U(s)}{V} \frac{N^2}{4}$$

$$\frac{E_0^{(s)}}{N} = \frac{3}{5} \frac{k_F^2}{2m} + \frac{U(s)}{4} \left(\frac{N}{V} \right) = \frac{3}{5} \left(\frac{k_F^2}{2m} \right) + \frac{U(s)}{4} \frac{k_F^3}{3\pi^2}$$

$$= E_0^{(s)} \left[1 + \frac{U(s)}{4} \frac{k_F^3}{3\pi^2} \frac{5}{3} \frac{2m}{k_F^2} \right]$$

$$= E_0^{(s)} \left[1 + \frac{5}{2} \frac{U(s)}{9\pi^2} m k_F \right]$$

PERTURBATIVAMENTE (APROXIMAÇÃO DE BORN):

$$a = \frac{m U(0)}{4\pi} \Rightarrow U(0) = \frac{4\pi a}{m}$$

$$\Rightarrow E_{\text{tot}}^{(1)} = E_0^{(0)} \left[1 + \frac{10}{9\pi} (k_F a) \right]$$

Energia até segunda ordem em $(k_F a)$

K. Huang and C. N. Yang, Phys. Rev. **105**, 767 (1957)

$$\frac{E_0}{N} = \frac{3}{5} \left(\frac{\hbar^2 k_F^2}{2m} \right) \left[1 + \frac{10}{9\pi} k_F a + \frac{4(11 - 2\ln 2)}{21\pi^2} (k_F a)^2 \right]$$

Pressão: $P_F(T=0) = - \frac{\partial E}{\partial V} \Big|_{N,T=0} = \frac{\hbar^2 k_F^2}{5m} n = \frac{\hbar^2}{5m} (3\pi^2)^{2/3} n^{5/3}$

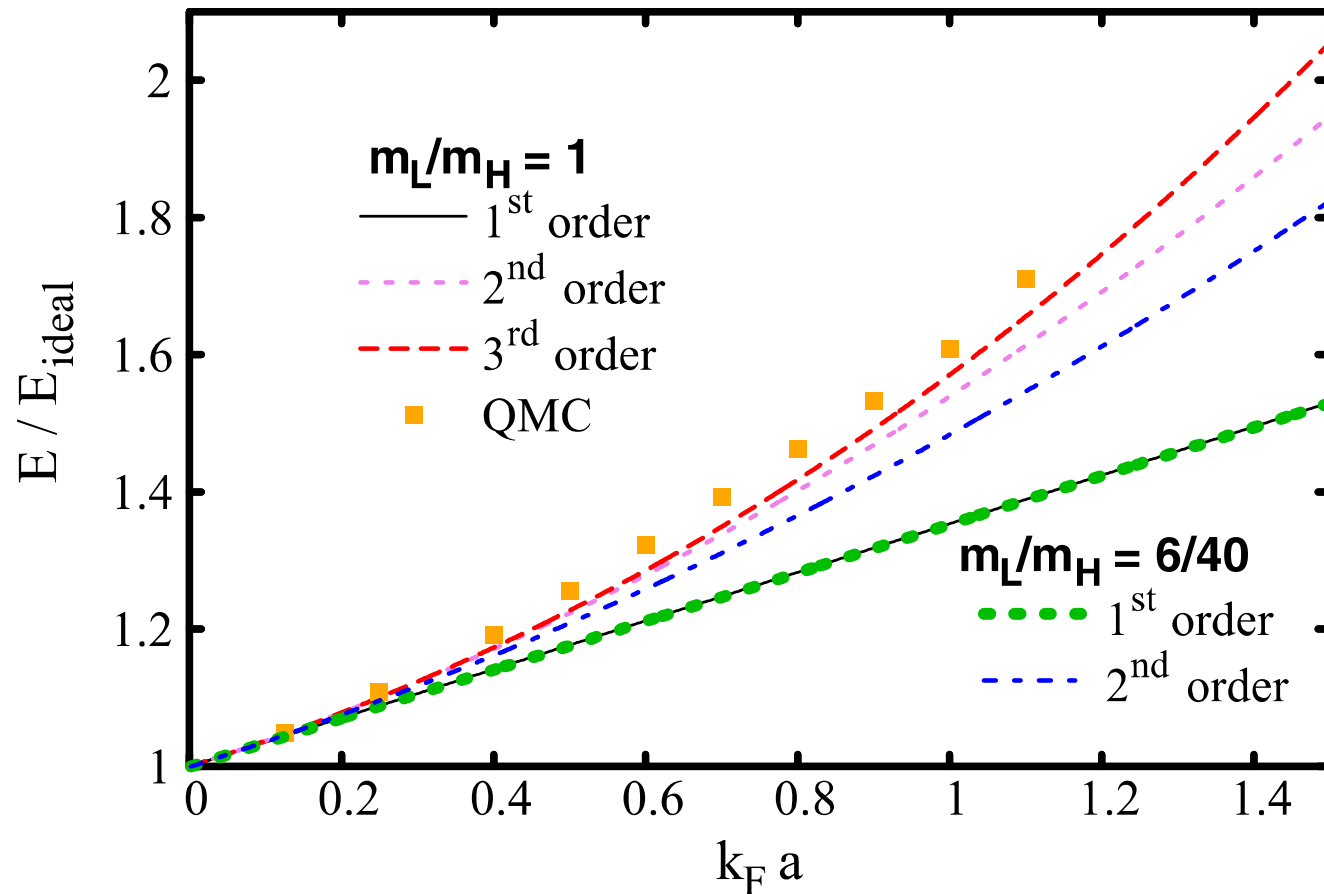
Potencial químico e compressibilidade:

$$\kappa = - \nabla \frac{\partial \mathcal{N}}{\partial P}$$

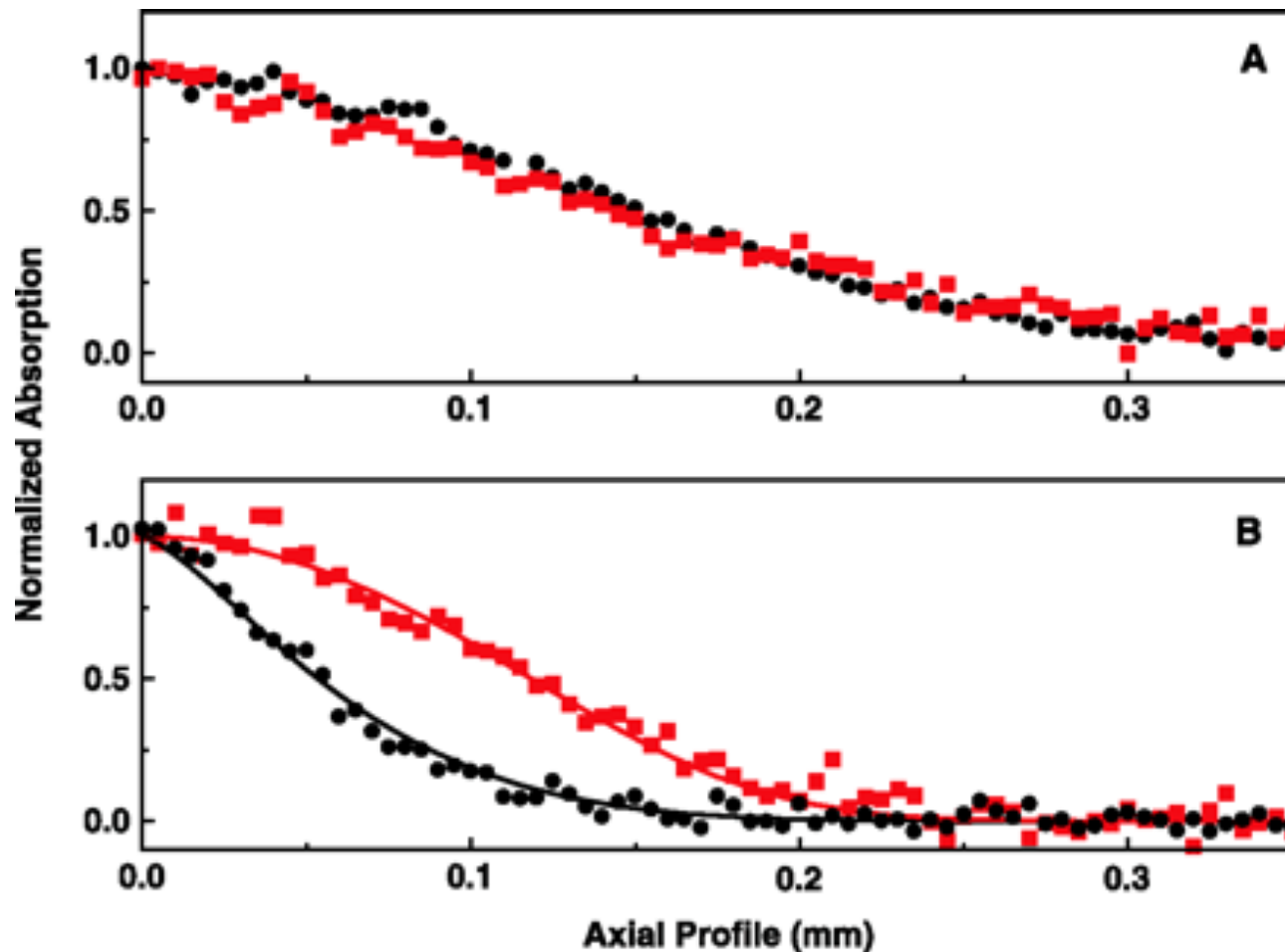
$$\mu = \frac{\partial E_0}{\partial N} = E_F \left[1 + \frac{4}{3\pi} k_F a + \frac{4(11 - 2\ln 2)}{15\pi^2} (k_F a)^2 \right]$$

$$\kappa^{-1} = \left(\frac{1}{n^2} \frac{\partial n}{\partial \mu} \right)^{-1} = \frac{N^2}{V} \frac{\partial \mu}{\partial N} = \frac{2n}{3} E_F \left[1 + \frac{2}{\pi} k_F a + \frac{8(11 - 2\ln 2)}{15\pi^2} (k_F a)^2 \right]$$

Estado fundamental para misturas com massas iguais e diferentes



E. Fratini and S. Pilati, Phys. Rev. A **90**, 023605 (2014)



${}^7\text{Li}$ é um bóson
 ${}^6\text{Li}$ é um férnion

Comparison of ${}^6\text{Li}$ and ${}^7\text{Li}$ atom cloud axial profiles. The red squares correspond to ${}^6\text{Li}$, and the black circles to ${}^7\text{Li}$. (A) Data from the top image of Fig. 1, corresponding to $T/T_F = 1.0$ and $T/T_c = 1.5$. (B) Data from the lower image of Fig. 1, corresponding to $T/T_F = 0.25$ and $T/T_c = 1.0$. The fits to the data are shown as solid lines.

*Observation of Fermi Pressure in a Gas of Trapped Atoms,
A. G. Truscott et al., Science 291, 2570 (2001).*

Feshbach resonance

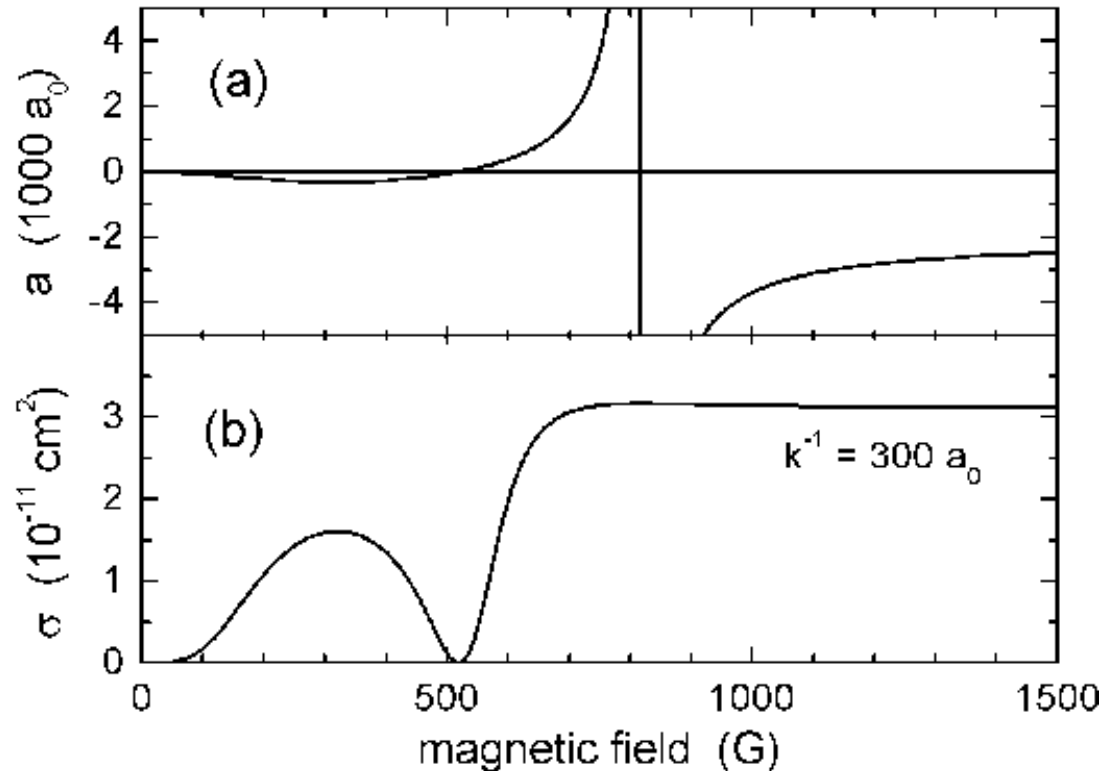
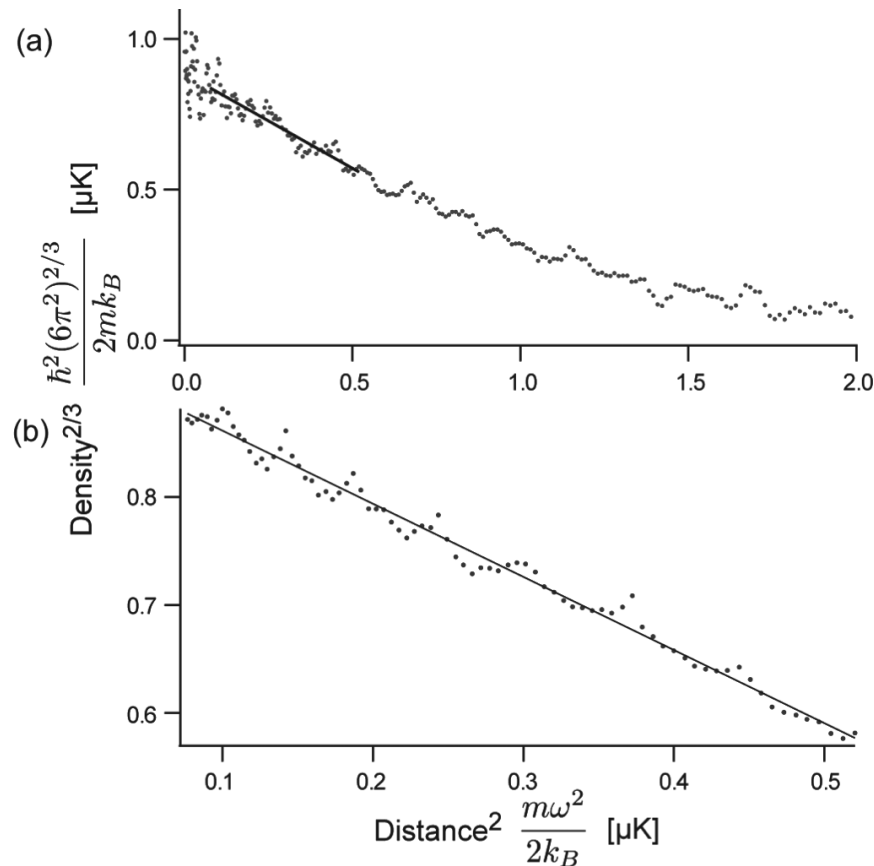


FIG. 1. (a) Model curve approximating the results of [13–15] for the *s*-wave scattering length of ${}^6\text{Li}$ atoms in the two lowest spin states versus magnetic field. (b) Corresponding behavior of the scattering cross section at a finite collision energy with a relative wave number of $k = (300a_0)^{-1}$.

Magnetic Field Control of Elastic Scattering in a Cold Gas of Fermionic Lithium Atoms, S. Jochim *et al.*, Phys. Rev. Lett. **89**, 273202 (2002).

Measured compressibility (${}^6\text{Li}$)



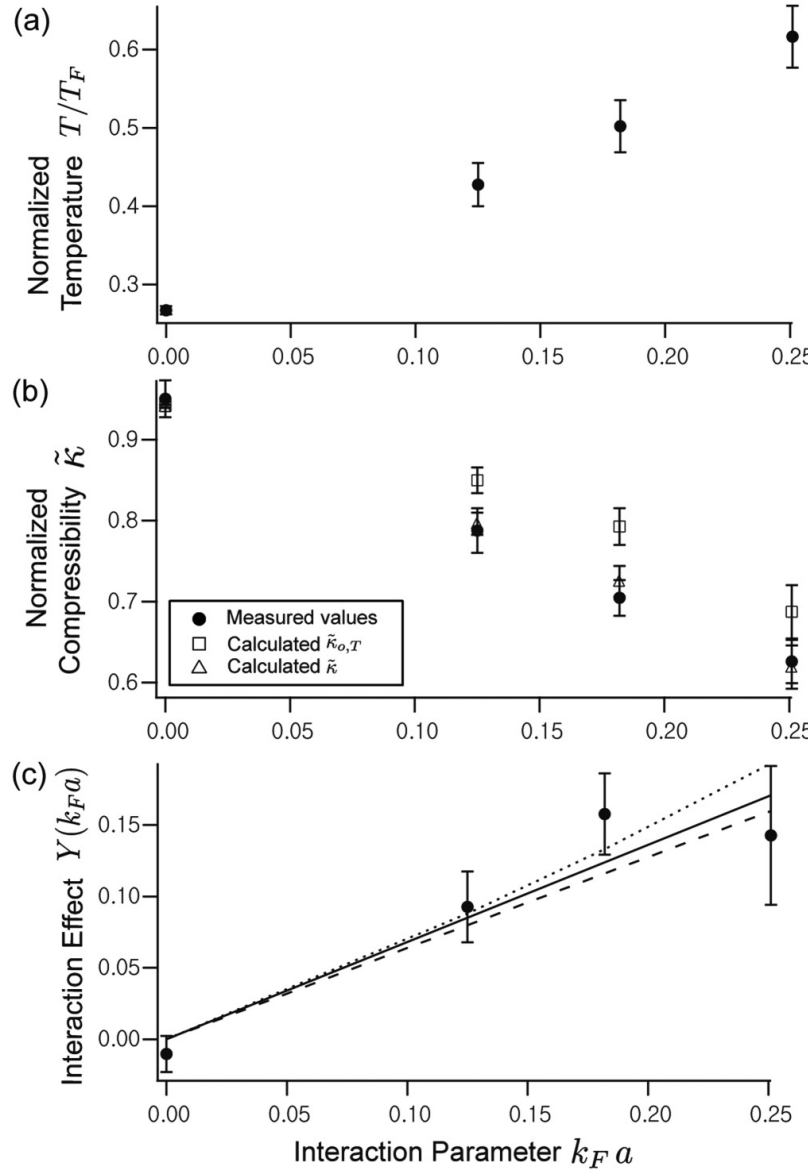
$$\tilde{\kappa} = \frac{\kappa}{\kappa_0} = \frac{\hbar^2(6\pi^2)^{2/3}}{2m} \frac{\partial n^{2/3}}{\partial \mu}.$$

$$\kappa_0 = \frac{n^{1/3}}{n^2} \frac{3m}{\hbar^2(6\pi^2)^{2/3}}$$

$$\mu = \mu_0 - m\omega^2 x^2/2,$$

Local density approximation

Measured compressibility (${}^6\text{Li}$)



$$\frac{1}{\tilde{\kappa}} = \frac{1}{\tilde{\kappa}_{0,T}} + Y(k_F a).$$

$$\tilde{\kappa}_{0,T} = 1 - \frac{\pi^2}{12} \left(\frac{T}{T_F} \right)^2 + O\left[\left(\frac{T}{T_F} \right)^4 \right],$$

$$Y(k_F a) = \frac{2}{\pi} k_F a + \frac{8(11 - 2 \ln 2)}{15\pi^2} (k_F a)^2$$

Ye-Ryoung Lee, *et al.* Phys. Rev. A
85, 063615 (2012)